

# FOTOELASTICIMETRICKÝ VÝZKUM SPOLUPŮSOBENÍ HORNINOVÉHO MASIVU S VÝZTUŽÍ JÁMOVÉHO NÁRAZIŠTĚ

Ing. Josef Málek, CSc.

Ústav geologie a geotechniky ČSAV

V Holešovičkách 41, 182 09 Praha 8

## 1. Úvod

Příspěvek obsahuje první část prací, zabývajících se modelovým fotoelasticimetrickým výzkumem vzájemného působení horského masivu a výztuže jámového náraziště. Tato problematika se stává v současné době aktuální v souvislosti s dimenzováním a výstavbou těžních jam v nepříznivých geologických podmínkách.

Základní modelové řešení, obsažené v tomto příspěvku, bylo provedeno pro poměr modulů pružnosti horského masivu a výztuže 1:10, za předpokladu pružného, lineárního chování, homogenity a izotropie. V současné době řešení pokračuje pro jiné vstupní parametry výztuže a masivu, včetně uvažování masivu s uhelnou slojí.

Jelikož se jedná o prostorovou úlohu teorie pružnosti, byla modelová řešení provedena na prostorových fotoelasticických modelech metodou zmrzování napětí. Cílem řešení bylo vyhodnocení napjatosti na výztuži jámového náraziště a v ovlivněném horském masivu kolem náraziště.

## 2. Modelování

Výchozí údaje pro modelování byly následující:  
Jámová výztuž bude zhotovena z oceli a betonu s předpokládaným modulem pružnosti  $E_{výztuže} = 20.000 \text{ MPa}$  a pevností materiálu výztuže  $\sigma_{pd} = 25 \text{ MPa}$ .

Modul pružnosti horského masivu  $E_{mas} = 2.000 \text{ MPa}$  a pevnost v prostém tlaku  $\sigma_{pd} = 5 \text{ MPa}$ . Tahové pevnosti se uvažují asi ve výši 10 % z pevností tlakových.

Horninový tlak neporušeného masivu v hloubce náraziště  $\sigma_z = \sigma_v = 25 \text{ MPa}$ ,  $\sigma_x = \sigma_y = \sigma_h = 0,55 \sigma_z$ . Ve skutečnosti bude jámová náraziště výztuž namáhána tlakem v mezích  $0,8+1,6 \text{ MPa}$ .

Pro modelování bylo zvoleno měřítko geometrické podobnosti  $K_1 = 200$ . Prostorový model tvaru válce byl slepen ze tří samostatných částí - vrchní a spodní části, modelující horninový masiv a vlastního modelu jámového náraziště. Části modelů před slepéním jsou patrné z obr.1. Vlastní výroba jednotlivých částí modelu se prováděla metodou přesného lití do sendvičových forem. Tyto formy jsou tvořeny ze dvou vrstev, vnitřní ze silikonového kaučuku a vnější z epoxidové pryskyřice plněné sádrovou. Dělená sendvičová forma pro model výztuže jámového náraziště je patrná z obr.2. Složení odlévacích hmot a vlastnosti vytvrzených pryskyřic jsou uvedeny v následujících tabulkách 1 a 2. Polymerizace probíhala běžným postupem s max. teplotou  $140^{\circ}\text{C}$ .

Tabulka 1 Složení odlévacích směsí

hmot.díly č.mat.	Epoxy 15	MA	PA	BF	DBF	DMA
1-vrchní část masivu	100	-	51	45	-	0,2
2-spodní část masivu	100	-	51	50	-	0,2
3-výztuž	100	42	-	-	10,5	0,2

Tabulka 2 Vlastnosti vytvrzených hmot

č.mat.	$E_e$ [MPa]	$E_e(\lambda = 575 \text{ nm})$ [ $\text{N} \cdot \text{mm}^{-2}$ ]	$T_g$ [ $^{\circ}\text{C}$ ]	
1	3,3	0,23	65	$E_1/E_3 = 1:10$
2	3,7	0,23	63	$E_2/E_3 = 1:8,92$
3	3,3	0,334	65	-

Poznámka: Moduly pružnosti vrchní a spodní části modelu horského masivu nejsou stejné z důvodu odlišné navážky BF - viz tab.1.

Jako lepidla pro slepení částí modelu byla použita pryskyřice Epoxy 15 s tvrdidlem DETA v poměru 100 g Epoxy : 23 g DETA.

Model byl na okrajích zatížen rovnoramenným svislým tlakem  $\sigma_{xnom} = -0,048 \text{ MPa}$  a pláštovým tlakem  $\sigma_{ynom} = \sigma_{znom} = 0,5 \text{ MPa}$  a napjatost v modelu byla zamrzena. Celková doba zamrzování byla  $\sim 75 \text{ hod}$ . Po zamrzání byl model rozřezán na tenké lamely, které byly vyhodnocovány v polariskopefy Photelastic model 61. Schema výřezu je na obr.3.

Ve vyříznutých lamelách byl vyhodnocen dvojlem  $\Delta_{xz}$ ,  $\Delta_{yz}$  a  $\Delta_{rz}$  (podle roviny výřezu). Pro snadnější orientaci a posuzování exponovaných míst v nárazišti a v masivu byly zavedeny koeficienty koncentrace napětí, definované vztahy:

$$\alpha = \frac{\sigma_0}{|\sigma_{znom}|} = \frac{\tau_{max}}{|\sigma_{znom}|} \cdot \left( \begin{array}{l} \alpha \sim \alpha_{xz}, \alpha_{yz}, \alpha_{rz} \\ \sigma_0 \sim \sigma_{xx}, \sigma_{yy}, \sigma_{zz} \\ \tau_{max} \sim \tau_{xmax}, \tau_{ymax}, \tau_{rmax} \end{array} \right)$$

které jsou stejné jak pro model, tak pro skutečný masiv.

Koeficienty  $\alpha(\alpha_{xz}, \alpha_{yz}, \alpha_{rz})$  se vypočítají ze změřeného relativního dvojlemu  $\Delta(\Delta_{xz}, \Delta_{yz}, \Delta_{rz})$  ze vztahu

$$\alpha = \frac{\Delta \cdot K}{t \cdot |\sigma_{znom}|} \cdot$$

Např. izokřivky koeficientů  $\alpha_{xz}$  jednoho svislého řezu, kolmého na vodorovnou válcovou část náraziště jsou na obr. 4 a svislého řezu procházející osou jámy na obr.5. Obvodová napětí na vnitřním povrchu náraziště v řezech IV, VI a I jsou patrná z obr.6. Průběh napětí v exponovaných místech náraziště („3“ a „4“) podél osy y ukazuje obr.7.

### 3. Závěr

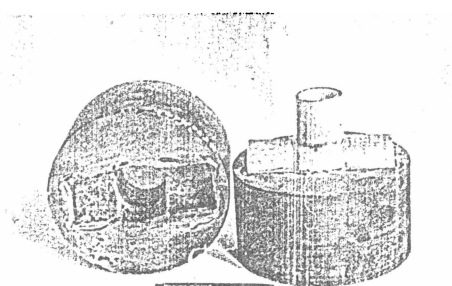
Model, tak jak byl postaven řeší pouze pružné rozložení napjatosti ve výstuži a v okolním ovlivněném horském masivu, která je funkcí geometrického tvaru výstuže náraziště a modelované oblasti, poměru modulů pružnosti výstuže a masivu a zatížení na okraji modelované oblasti. Proto jsou zjištěná napětí ( $\tau_{max}$ ,  $\sigma_0$ ) zpracována ve tvaru koeficientů  $\alpha$ , jakožto násobky nominálního svislého zatížení na

okraji oblasti. Skutečnou velikost tohoto zatížení model neřeší a ani řešit nemůže.

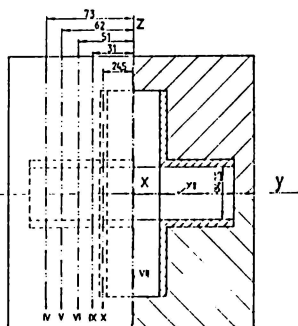
Hlavní význam této práce spočívá především v určení exponovaných oblastí výztuže náraziště, koncentrace napětí v těchto místech a koncentrace napětí v okolním ovlivněném masivu. Absolutní velikost napětí bude závislá na skutečném zatížení na okraji modelované oblasti.

#### 4. Literatura

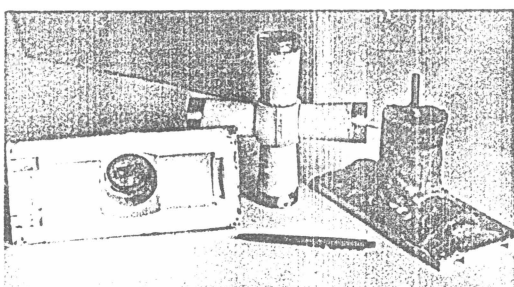
Málek, J.: Výzkum spolupůsobení horninového masivu s výztuží jámového náraziště - část I.  
Zpráva UGG ČSAV, Praha 1988.



Obr.1 Model náraziště  
před slepením

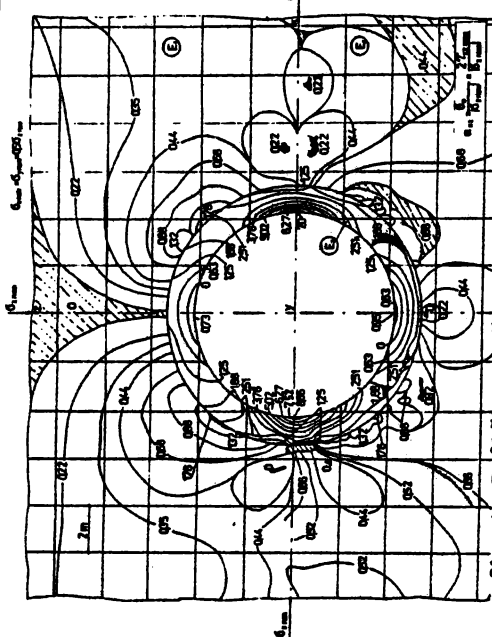


Obr.3 Schema výřezů



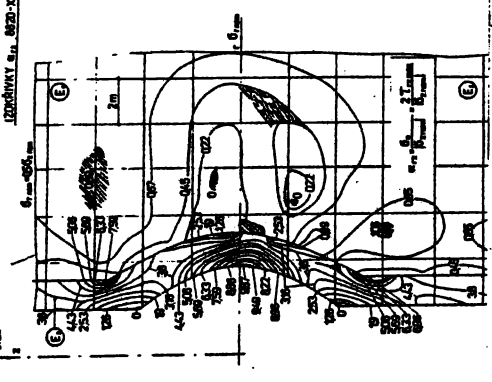
Obr.2 Části sendvičové formy  
pro odlití výztuže  
náraziště

LIZDÁVKY S. 6020-1



Obr. 4 Přiběh izohřívek  $\alpha_{xz}$  v řezu VI  
Obr. 6 Tečná napětí na vnitřním obvodě vrstky

LIZDÁVKY S. 6020-1



Obr. 5 Přiběh izohřívek  $\alpha_{rz}$  v řezu XI  
Obr. 7 Napětí na vnitřním povrchu

